

## بررسی الگوی رسوب‌گذاری مخزن سد شهید رجایی با استفاده از مدل GSTARS3.0 عددی

### هدی مسکار<sup>۱</sup> و رامین فضل‌اولی<sup>۲</sup>

- ۱- دانشجویی کارشناسی ارشد دانشگاه علوم کشاورزی و منابع طبیعی ساری  
۲- استادیار دانشگاه علوم کشاورزی و منابع طبیعی ساری، (نویسنده مسؤول: r.fazlola@sanru.ac.ir)  
تاریخ دریافت: ۹۱/۳/۱۰ تاریخ پذیرش: ۹۱/۶/۱۸

#### چکیده

یکی از اثرات مهم پس از ساخت سدها، مسئله رسوب‌گذاری در مخازن می‌باشد. این پدیده بهره‌برداری بهینه از حجم ذخیره شده در مخزن سد را با مشکلاتی مواجه می‌سازد. علاوه بر این، رسوب‌گذاری بر تولید انرژی، کشتیرانی، عملکرد توربین‌ها، تولید و تامین آب و ایمنی سدها تاثیرگذار است. در تحقیق حاضر، به منظور پیش‌بینی روند رسوب‌گذاری مخزن سد شهید رجایی، از مدل GSTARS3.0 به دلیل داشتن خاصیت نیمه دوبعدی و شبه‌پایدار، قابلیت شبیه‌سازی انتقال رسوب در حالت عدم تعادل و به کارگیری دامنه وسیعی از معادلات انتقال رسوب، استفاده شد. بعد از واسنجی مدل به کمک داده‌های هیدروگرافی مخزن سد شهید رجایی برای یک دوره ده ساله، مقدار و نحوه رسوب‌گذاری در مقطع طولی و مقاطع عرضی مخزن مورد بررسی قرار گرفت. نتایج حاصل از واسنجی مدل نشان داد، با انتخاب تابع یانگ ۱۹۷۹ به عنوان رابطه حمل رسوب، تعداد سه لوله جریان و ضریب زبری ۰/۰۴، نتایج مدل تطابق بهتری با نتایج واقعی دارد. همچنین نتایج شبیه‌سازی مدل نشان می‌دهد که پس از طی ۵۰ سال از زمان بهره‌برداری سد، حجم رسوبات انباسته شده در مخزن به حدود ۲۱ میلیون متر مکعب می‌رسد که تقریباً ۲۲٪ از حجم مفید مخزن را پر خواهد نمود.

واژه‌های کلیدی: سد شهید رجایی، شبیه‌سازی، رسوب‌گذاری، مخزن سد، Gstars3.0

سد تجمع یابد، امکان مدفن شدن تخلیه کننده‌های تحتانی و دریچه‌های آبگیر را سبب شده و همچنین بهره‌برداری آنها را با اشکال مواجه می‌سازد. به علاوه رسوبی که به خروجی‌های مربوط به آبگیر می‌رسد، می‌تواند توربین‌ها و حفاظ دریچه‌های تحتانی مخازن را

مقدمه با ورود رسوب و تجمع آن در مخزن سد، ظرفیت ذخیره موثر آب کاهش می‌یابد. این امر به نوبه خود باعث کاهش توان ذخیره آب و از دست رفتن ظرفیت تعديل طغیان مخزن خواهد شد. اگر رسوب در نزدیکی بدنه

متفاوتی را درخصوص تطبیق مدل‌ها با شرایط واقعی در برداشته است. برای مثال کریشنانپان (۷) مقایسه‌ای بین دو مدل HEC-6 و MOBED-2 انجام داد که مقایسه وی شامل دو بخش بوده است، در بخش اول، تفاوت عمدی بین دو مدل مذکور با بررسی معادلات پایه هر یک، بیان شد و در بخش دوم با مجموعه داده‌های ورودی یکسان، مقایسه‌ای بین قابلیت پیش‌بینی دو مدل برای شبیه‌سازی انتقال رسوب انجام شد.

داده‌های ورودی مربوط به بازه‌ای از رودخانه ساسکاچوان<sup>۱</sup> جنوبی و سد گاردنینار<sup>۲</sup> بوده است. مقایسه پیش‌بینی دو مدل با داده‌های اندازه‌گیری شده نشان می‌دهد که قابلیت پیش‌بینی مدل MOBED-2 نسبت به مدل HEC-6 برتری دارد و مدل HEC-6 برای تعیین ضریب مانینگ و عرض بستر به واسنجی گستردگی، سخت و زمان بر نیازمند است.

شوشتاری و همکاران (۱۳) به مقایسه برخی از مدل‌های انتقال رسوب در رودخانه و مخزن پرداختند و چون مدل GSTARS3.0، به داده‌های زیادی به منظور واسنجی نیازمند نمی‌باشد، مدل مذکور را پیشنهاد کردند و برای ارزیابی تغییرات حجم ذخیره‌ی مفید آب مخزن دز از مدل عددی GSTARS3.0 استفاده کردند. فان (۴)، با مقایسه و بررسی نرم افزارهای گوناگون اعلام کرد که با توجه به این که GSTARS3.0 بر پایه لوله‌های جریان و نظریه کمینه قدرت جریان شکل گرفته است و برای محاسبه پروفیل سطح آب از رابطه انرژی و مومنت استفاده می‌کند و همچنین با دخالت

دچار فرسایش و خوردگی کند. همچنین بار وارد بده سد نیز افزایش می‌یابد. تغییرات رسوب مخزن به عواملی چون مقدار رسوبات تولید شده، سرعت انتقال رسوب، نوع رسوب، طریقه نهشت رسوبات، عملکرد مخزن، خصوصیات ژئومتریک مخزن و جریان متغیر رودخانه بستگی دارد (۵).

برآوردها نشان می‌دهد که سالانه بین ۰/۵ تا ۱ درصد از مجموع حجم مخازن سدهای دنیا به علت رسوب‌گذاری از دست می‌رود (۳، ۱۱). این میزان در بعضی از کشورها به بیش از یک درصد نیز می‌رسد. میزان فرسایش خاک حوزه‌های آبخیز در ایران نسبتاً زیاد است که این امر اهمیت پرداختن به مسائل رسوب در مخازن سدها را دو چندان می‌کند. در ایران نرخ کاهش حجم مخازن در اثر رسوب‌گذاری به طور متوسط بین ۰/۵ تا ۰/۷۵ درصد تخمین زده می‌شود که به طور تقریبی معادل ۱۷۵ میلیون تا ۲۵۰ میلیون متر مکعب در سال است (۱۵).

شبیه‌سازی عددی روند رسوب‌گذاری هم در مرحله طراحی و هم در مرحله بهره‌برداری، کمک بسیاری به طراحی اولیه و مدیریت بهره‌برداری خواهد کرد که شامل پیش‌بینی رفتار رسوبی مخزن، پیش‌بینی نیازهای سازه‌ای، کمک به تنظیم دستورالعمل‌های اجرایی مدیریت رسوب و بهینه‌سازی عملیات تخلیه رسوب در زمان بهره‌برداری است. طی دو دهه اخیر مطالعات زیادی جهت کاربرد مدل‌های عددی در بررسی رسوب‌گذاری مخازن و انتقال رسوب در رودخانه‌ها و آبراهه‌های طبیعی انجام شده است که نتایج

صرفه‌تر هستند. در این مقاله به منظور بررسی روند رسوب‌گذاری مخزن سد شهید رجایی از مدل شبه دو بعدی GSTARS3.0 که یکی از پرکاربردی ترین مدل‌های بکار رفته در مسائل رسوبی مخازن سدها می‌باشد، استفاده شده است.

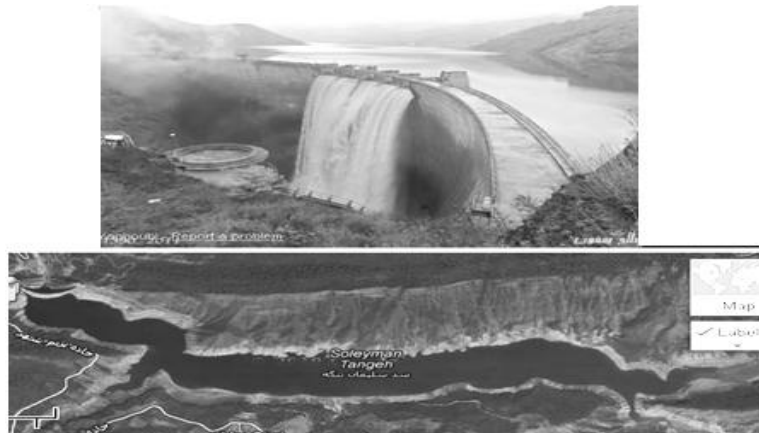
## مواد و روش‌ها

### مخزن سد شهید رجایی

سد بتُنی دو قوسی شهید رجایی که از آن با عنوان سد سلیمان تنگه نیز یاد می‌شود در ۴۵ کیلومتری جنوب غربی ساری در جاده ساری به سمت سمنان بعد از روستای تاکام و در نزدیکی روستاهایی چون ورکی و افراجال در منطقه‌ای کوهستانی و سرسبز واقع شده است (شکل ۱). مخزن این سد دارای ظرفیت مفید ۱۶۰ میلیون متر مکعب می‌باشد. طول دریاچه این مخزن ۸۵۰۰ متر و مساحت آن ۵۲۰ هکتار می‌باشد. این سد دارای یک شاخه‌ی اصلی بنام سفیدرود و دو شاخه فرعی که به ترتیب اهمیت در آورد دبی و رسوب بنام‌های شیرین رود و دواوب می‌باشد. اهداف اصلی احداث این سد، تامین آب کشاورزی اراضی دشت تجن، کنترل طغیان و جلوگیری از خسارات ناشی از سیل، تامین آب آشامیدنی ساکنین محدوده طرح و تولید برق می‌باشد (۱۰).

دادن مفهوم روندیابی رسوب با نسبت اندازه ذرات، به کارگیری مفاهیم تشکیل و تخریب یک لایه حفاظتی<sup>۱</sup>، تعدیل عرض کanal و پایداری شبکه کناری کanal، مدل عددی مذکور برای حل بسیاری از مسائل مهندسی در حالت شبه دو بعدی و نیمه پایدار، مناسب است. آبود و همکاران (۱) به مقایسه برخی از مدل‌های یک بعدی رسوب‌گذاری پرداختند و دو مدل GSTARS و HEC-6 را به عنوان نرم‌افزارهای موفق در زمینه پیش‌بینی الگوی رسوب‌گذاری مخازن پیشنهاد کردند. حسن‌زاده و خانکندي (۶)، بعد از واسنجی مدل GSTARS3.0 به کمک داده‌های آبنگاری مخزن سد علوبیان مراغه، نمودارهای حجم- سطح- ارتفاع و نحوه رسوب‌گذاری در مقاطع طولی و عرضی برای حالت‌های بستر اولیه، هیدروگرافی کرده و نتایج حاصل از تحلیل پدیده‌ی رسوب‌گذاری به کمک مدل برای یک دوره‌ی ۹ ساله کالیبره و سپس برای یک دوره‌ی ۵۰ ساله ترسیم و مورد ارزیابی قرار دادند. رنگین‌کمان و همکاران (۱۲)، با توسعه‌ی یک مدل کامپیوتری و با بهره‌گیری از مدل GSTARS3.0 به عنوان یک زیر برنامه، امکان شبیه‌سازی دراز مدت فرآیند رسوب‌گذاری و رسوب‌شویی در شرایط مختلف بهره‌برداری از مخزن با دقت قابل قبول را فراهم کردند. مدل‌های عددی در مقایسه با دیگر روش‌ها از نظر اقتصادی مقرن به

1- Armoring layer



شکل ۱- نمایش مخزن سد شهید رجایی و دو شاخه فرعی آن.

مقاطع عرضی به روش نیمه دوبعدی محاسبه شود. محاسبات روندیابی رسوب با در نظر گرفتن برخی فرضیات ساده سازی شده و بر اساس رابطه زیر انجام می گیرد:

$$\frac{\partial A_d}{\partial t} + \frac{dQ_s}{dx} = q_{lat} \quad (1)$$

که در آن، حجم رسوبات در واحد حجم لایه بستر،  $A_d$  حجم رسوبات بستر در واحد طول،  $Q_s$  دبی حجمی رسوب و  $q_{lat}$  جریان رسوب جانبی، می باشد. مدل از تفاضلات محدود و روش صریح برای حل رابطه پیوستگی رسوب استفاده می کند (۱۶، ۱۷، ۱۸). از تئوری حداقل مجموع قدرت جریان برای محاسبه تعادل بین تغییرات عمق و عرض آبراهه در این مدل استفاده شده است و به کارگیری این تئوری به آبراهه این اجازه را می دهد که به عنوان یک متغیر مجھول عمل کند. در GSTARS3.0 از فرضیه حداقل شدت افت انرژی به عنوان نقطه شروعی برای بدست آوردن رابطه مستقل اضافی استفاده می گردد. بر اساس فرضیه حداقل شدت افت انرژی، وقتی که یک سیستم بسته و مستهلک کننده

**معرفی مدل GSTARS3.0 و معادلات حاکم**  
مدل کامپیوترا GSTARS3.0<sup>۱</sup> مدل تعمیم یافته لوله جریان برای شبیه سازی رودخانه های آبرفتی است که توسط گروه هیدرولیک رودخانه و رسوب گذاری مرکز خدمات فنی USBR<sup>۲</sup> تهیه شده است. مدل مذکور توانایی شبیه سازی شرایط جریان به روش نیمه دوبعدی و شبیه سازی تغییرات هندسی کanal به روش نیمه سه بعدی را دارد و برای حل مسائل پیچیده هی مهندسی رودخانه در جایی که محدودیت های اطلاعات و منابع وجود دارد می تواند مورد استفاده قرار گیرد. در مدل GSTARS3 برای محاسبه پروفیل سطح آب از هر دو رابطه ممنتوم و انرژی استفاده می شود. این ویژگی به برنامه اجازه می دهد تا محاسبات پروفیل سطح آب را در ترکیبی از رژیم فوق بحرانی و زیر بحرانی انجام دهد. در این مدل از فرضیه لوله جریان استفاده می شود که این فرض در محاسبات روندیابی رسوب مورد استفاده قرار می گیرد و سبب می شود متغیرها در راستای عرضی

گذشت ده سال از آبگیری سد، استفاده شد. داده‌های هیدرولوژی شامل دبی ماهانه ورودی به مخزن و تراز متوسط ماهانه مخزن در فاصله زمانی بهره‌برداری سد تا هیدرولوگرافی مخزن (برای تعریف شرایط مرزی) و درجه حرارت متوسط آب می‌باشد و داده‌های رسوبی شامل دبی رسوب و دبی آب ورودی به مخزن، دانه بندی رسوبات بستر در مقاطع مختلف و درصد رسوبات معلق ورودی برای کلاس بندی‌های تعیین شده ذرات می‌باشد.

برای معرفی هندسه مخزن به طول تقریبی ۸۵۰۰ متر، از ۴۷ مقطع به فاصله ۱۸۰ متر استفاده شد (شکل ۲). برای سهولت در شبیه‌سازی، از مدل کردن هندسی شاخه‌های فرعی صرف نظر شد. دو شاخه‌ی فرعی شیرین‌رود و دوآب بصورت جریان جانبی و در دو فایل جداگانه تعریف و سپس به مدل معرفی شدند.

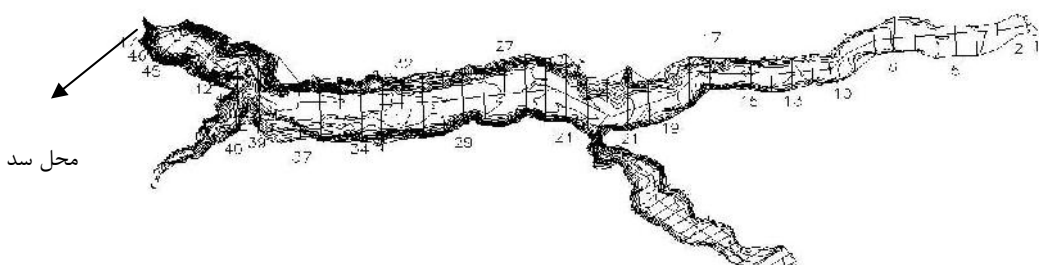
انرژی به حالت تعادل دینامیکی خود می‌رسد، شدت افت انرژی آن باید در حداقل مقدار خود باشد.

$$W = W_w + W_z = \min \quad (2)$$

که  $W$  شدت کل افت انرژی،  $W_w$  شدت افت انرژی ناشی از حرکت آب و  $W_z$  شدت افت انرژی ناشی از حرکت رسوبات می‌باشد. اگر سیستم در تعادل دینامیکی نباشد، شدت افت انرژی آن حداقل نمی‌باشد ولی تعديل آن در جهتی است که افت انرژی خود را به حداقل رسانده و به تعادل برسد (۱۹، ۲۰).

#### نحوه ساخت مدل

در مطالعه مخزن سد شهید رجایی با استفاده از مدل GSTARS، داده‌های فایل ورودی در سه بخش ژئومتری، هیدرولوژی و رسوب قرار می‌گیرند که برای داده‌های ژئومتری از نقشه‌های توپوگرافی مخزن سد با مقیاس ۱/۱۰۰۰ و نقشه‌های ۱/۲۰۰۰ توپوگرافی مخزن در حالت هیدرولوگرافی پس از



شکل ۲- محل مقاطع بررسی شده مخزن سد شهید رجایی.

شاخه‌های فرعی شیرین رود و دوآب به ترتیب آمار ایستگاه‌های علی‌آباد و دوآب بکار برده شدند. دبی رسوب به صورت تابعی از دبی جریان با توجه به داده‌های آماری موجود در

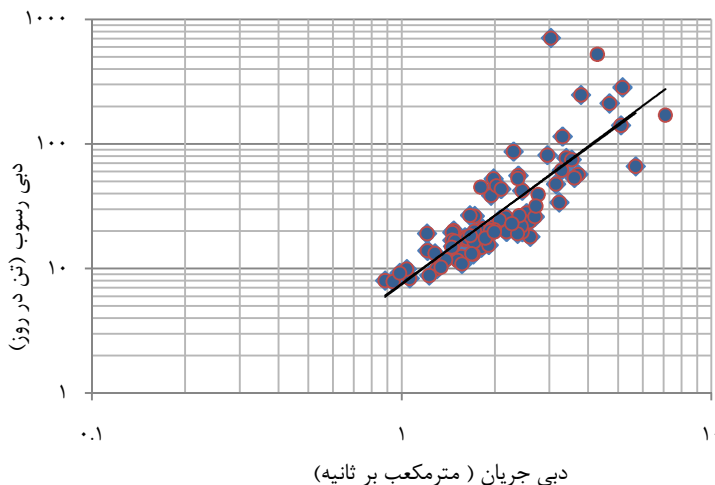
برای تعیین رابطه دبی آب ورودی به مخزن و دبی رسوبات برای شاخه اصلی از آمار ایستگاه هیدرومتری پروریج آباد واقع در ورودی مخزن، استفاده شد (شکل ۳) و برای

استفاده از رابطه فوق با درجه‌ی آزادی ۸۰ و ضریب همبستگی ۰/۸۴۸۵ در دو سطح معنی‌داری ۱٪ و ۵٪، بر اساس گزارش مهدوی (۹) مورد تایید قرار گرفت.

شاخه اصلی به شرح زیر استخراج و به مدل معرفی شد.

$$Q_s = 8.432 Q_w^{1.982} \quad (3)$$

$$R^2 = 0.72$$



شکل ۳- منحنی دبی ستجه رسوبات در شاخه اصلی

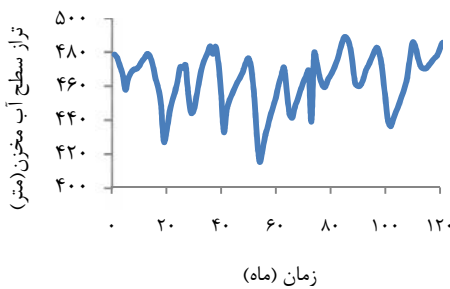
آماری، دبی جریان ورودی نسبت به زمان برای هر سه شاخه نمایش داده شد. دانه‌بندی مواد بستر در دو مقطع به فاصله‌های ۸۵۰۰ متر و ۵۲۰۰ متر از سد با استفاده از منحنی دانه‌بندی بستر و در ده کلاس و همچنین دانه‌بندی مواد معلق تهیه و به مدل معرفی شد.

برای شاخه‌های فرعی نیز مقادیر دبی ماهانه و دبی رسوب متناظر، در فایل‌های جداگانه تهیه و به مدل معرفی شدند.

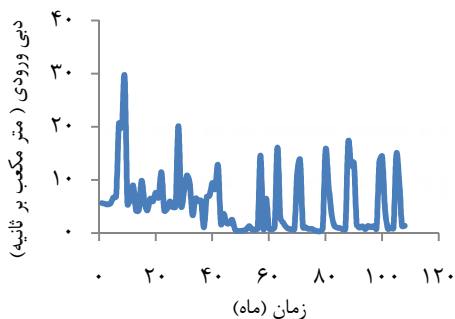
#### شرايط مرزي

در اين مطالعه برای شرايط مرزي از داده‌های دبی ماهانه ورودی و تغييرات ماهانه تراز آب مخزن استفاده شد (شکل ۴).

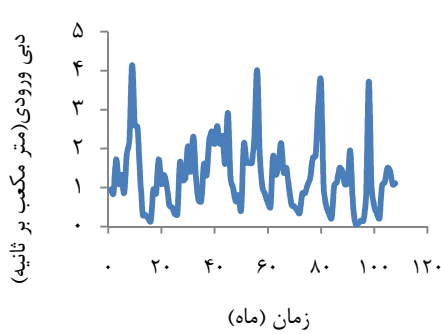
در شکل‌های ۵، ۶ و ۷ با توجه به داده‌ای



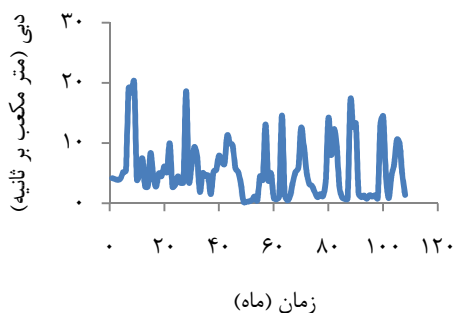
شکل ۴- تغييرات سطح آب مخزن نسبت به زمان



شکل ۵- تغییرات دبی ورودی سد شهید رجایی نسبت به زمان در شاخه اصلی



شکل ۶- تغییرات دبی در شاخه دواوب



شکل ۷- تغییرات دبی جریان در شاخه شیرین رود

حاصل از اجرای مدل GSTARS صورت گرفت که بعد از واسنجی مدل، ضریب زبری ۰/۰۴ با فرض زبری ثابت در بستر آبراهه اصلی و سواحل آن در کل مقاطع پیشنهاد شد. همچنین برای انتخاب تابع انتقال رسوب مناسب و انتخاب تعداد لوله‌ی جریان که مهم ترین پارامترها در کالیبره مدل می‌باشند،

**نتایج و بحث**  
برای واسنجی مدل مذکور از نقشه‌های هیدروگرافی مخزن که بعد از حدود ده سال از زمان بهره‌برداری تهیه گردیده بود، استفاده شد. همچنین برای واسنجی ضریب زبری، مقایسه‌ای بین تراز آب بالادست مخزن در ایستگاه هیدرومتری پروریج آباد با تراز آب

تابع انتقال رسوب از فرمول زیر محاسبه شد و در جدول (۱) آورده شده است.

$$STE = \left( \frac{1}{n-1} \sum_{i=1}^n (X_{oi} - X_{Ti})^2 \right)^{0.5} \quad (4)$$

که در آن  $X_{oi}$  و  $X_{Ti}$  به ترتیب مقادیر تجربی و تئوری سری داده‌های هیدرولوژیکی و  $n$  تعداد سال‌های آماری می‌باشد (۸).

۸ مدل انتخاب و با هم مقایسه شدند. رابطه یانگ-۱۹۷۹ و تعداد ۳ لوله جریان در این مطالعه که تطابق بهتری با هیدروگرافی داشته‌اند به عنوان بهترین پارامترهای ورودی شناخته شدند. در مبحث رسوب‌گذاری بیشترین عامل تاثیرگذار بر نتایج، تابع انتقال رسوب می‌باشد.

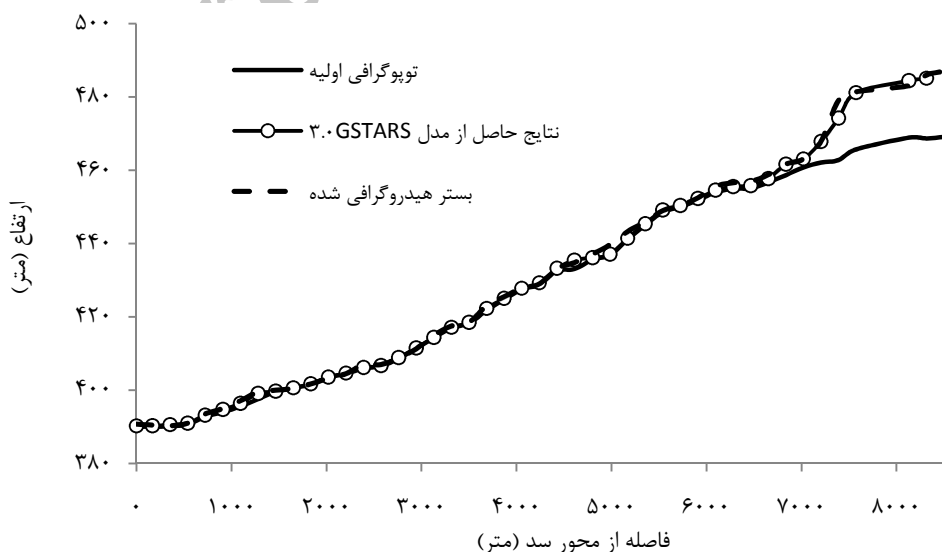
میزان خطای استاندارد STE برای هریک از

جدول ۱- میزان خطای STE برای هریک از توابع انتقال رسوب

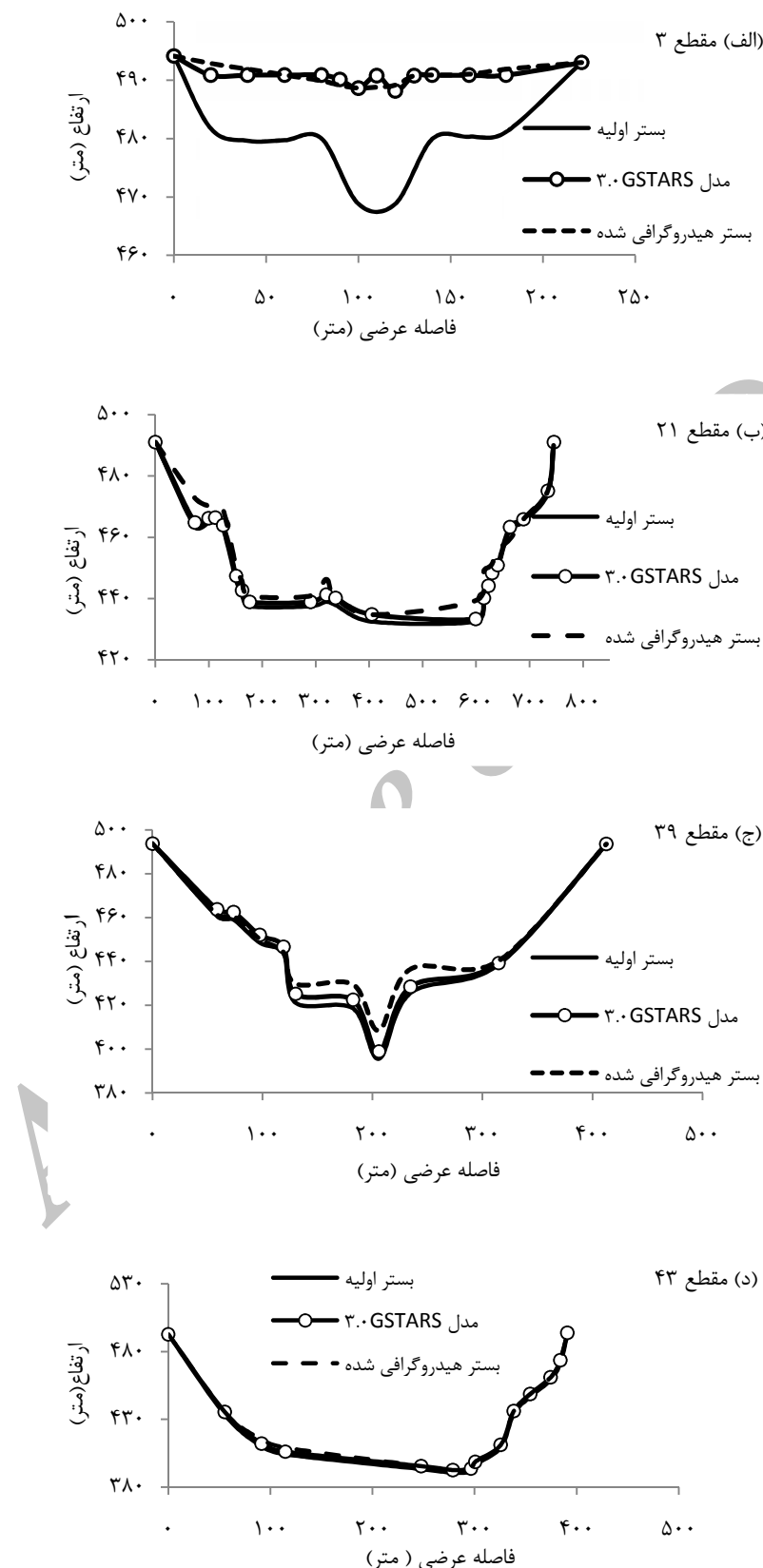
رابطه انتقال رسوب انگلوند و هانسن	لارسن	ایکرز و وایت اصلاح شده	ایکرز و وایت اصلاح شده	یانگ ۱۹۷۹	یانگ ۱۹۷۳	ایکرز و وایت هانسن	انگلوند و هانسن	لارسن	دوبوی اصلاح شده
۲/۱۳	۱/۷۳	۳/۵۴	۱/۰۵	۲/۴۸	۵/۷۱	۷/۵۲	۲/۷۰	STE	

مواد درشت دانه با تشکیل دلتا در بالادست مخزن و در مصب رودخانه ته نشین می‌شوند و مواد ریزدانه با جریان به پایین دست فرستاده می‌شوند و در جایی که مقطع عریض می‌شود ته نشین می‌گردند.

در شکل ۸ پروفیل طولی رسوب در مخزن سد و در شکل ۹ پروفیل عرضی رسوب در مقاطع مختلف برای حالت بستر اولیه، هیدروگرافی شده و نتایج حاصل از مدل ۸ GSTARS3.0 نشان داده شد. مطابق شکل ۸



شکل ۸- پروفیل طولی رسوب‌گذاری مخزن شهید رجایی بعد از گذشت ده سال از زمان بهره برداری



شکل ۹- تغییرات پروفیل عرضی مخزن سد شهید رجایی ناشی از رسوب‌گذاری در مقاطع ۳، ۲۱، ۳۹ و ۴۳

رودخانه تجن است که افزایش رسوب‌گذاری را نشان می‌دهد. در مقطع ۴۳ که در فاصله ۷۲۳ متری از سد واقع شده مشخص است که از مقدار رسوب‌گذاری در پای سد به شدت کاسته شده است. با توجه به مقادیر خطای STE (جدول ۲)، مشهود است در مقاطعی که در محدوده تشکیل دلتا (مقاطع ۱ الی ۱۷) و نزدیک بدن سد (مقاطع ۴۵ الی ۴۷) قرار دارند. نتایج حاصل از مدل با نتایج هیدروگرافی اندکی اختلاف نشان می‌دهد که قابل قبول است و بدان معنی است که مدل تطابق خوبی با حالت هیدروگرافی نشان می‌دهد.

در محدوده شاخه فرعی شیرین رود به دلیل ورود رسوبات شیرین رود به مخزن در فاصله ۴۶۱۰ متری از سد رسوب‌گذاری تا محدوده ۴۰۰ متری افزایش می‌یابد.

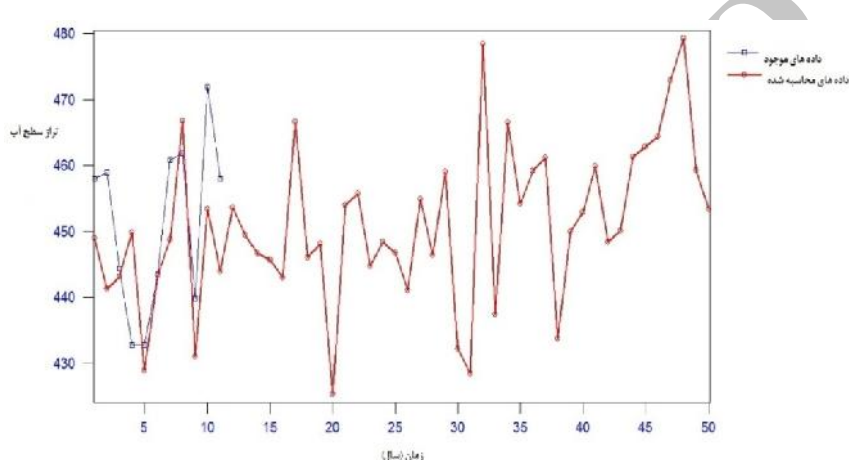
همچنان که در مقاطع عرضی مشخص است هرچه به محدوده سد نزدیک‌تر می‌شویم از شدت رسوب‌گذاری کاسته و همچنین رسوبات ریزدانه‌تر می‌شوند. مقطع ۲۱ مربوط به مقاطعی از مخزن است که شاخه شیرین رود بر رسوب‌گذاری آن تاثیرگذار بوده که افزایش رسوب‌گذاری در آن مشهود است. مقطع ۳۹ در فاصله ۱۴۶۵ متری از سد واقع شده که مربوط به اتصال شاخه فرعی دوآب به

جدول ۲- محاسبه خطای STE بین نتایج مدل باتابع انتقال یانگ و نتایج آبنگاری در مقاطع عرضی

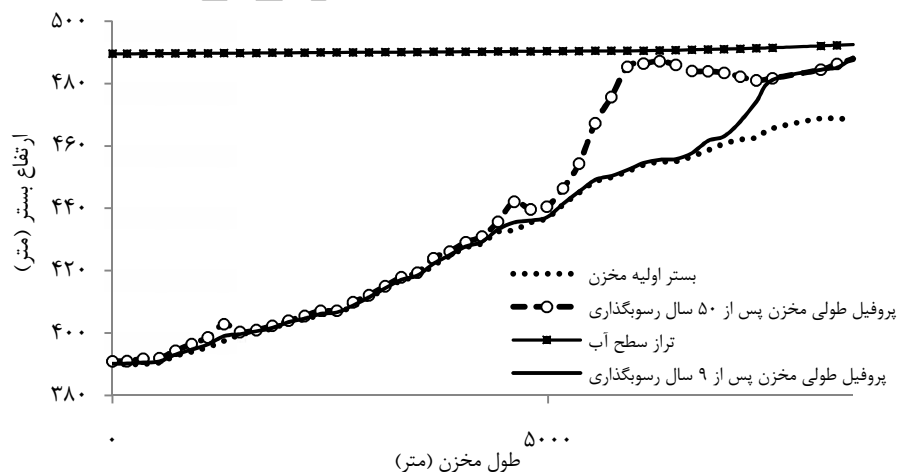
خطای STE	تراز پس از ۵ سال با Gstars3.0	تراز پس از ۵ سال با مدل داده‌های هیدروگرافی (متر)	فاصله عرضی (متر) در نقطه واقع در خط القعر	فاصله مقطع (متر)	فاصله مقطع از سد (متر)	شماره مقطع
۱/۱۰	۴۸۷/۰۰	۴۸۸/۳۶	۱۰۰	۸۵۰۰	۱	
۱/۰۱	۴۸۳/۱۰	۴۸۴/۴۰	۲۲۱	۸۱۳۰	۳	
۲/۳۱	۴۸۱/۶۲	۴۸۳/۲۳	۲۱۵	۷۷۶۰	۵	
۱/۱۴	۴۷۹/۱۰	۴۷۴/۲۱	۲۷۵	۷۳۹۰	۷	
۱/۰۵	۴۶۳/۱۰	۷۶۳/۰۹	۲۳۰	۷۰۲۰	۹	
۱/۷۳	۴۵۸/۸۱	۴۵۷/۷۰	۲۶۸	۶۶۵۰	۱۱	
۱/۰۶	۴۵۶/۵۹	۴۵۵/۵۴	۲۵۱	۶۲۸۰	۱۳	
۱/۲۹	۴۵۲/۵۰	۴۵۲/۲۸	۲۹۹	۵۹۱۰	۱۵	
۲/۵۴	۴۴۹/۰۰	۴۴۹/۱۴	۲۲۴	۵۵۴۰	۱۷	
۴/۳۹	۴۴۳/۳۰	۴۴۱/۴۱	۴۲۸	۵۱۷۰	۱۹	
۴/۱۴	۴۳۷/۱۰	۴۳۶/۱۱	۳۸۹	۴۸۰۰	۲۱	
۳/۷۳	۴۳۳/۲۰	۴۳۳/۲۶	۷۴۵	۴۴۲۵	۲۳	
۲/۴۲	۴۲۷/۸۰	۴۲۷/۷۸	۴۹۲	۴۰۵۵	۲۵	
۱/۸۵	۴۲۲/۰۰	۴۲۲/۲۸	۵۵۰	۳۶۸۵	۲۷	
۲/۴۲	۴۱۷/۵۰	۴۱۷/۱۲	۴۶۵	۳۳۱۵	۲۹	
۲/۲۷	۴۱۱/۳۰	۴۱۱/۵۰	۵۲۸	۲۹۴۵	۳۱	
۱/۹۸	۴۰۷/۰۰	۴۰۶/۶۶	۴۹۸	۲۵۷۵	۳۳	
۲/۵۰	۴۰۴/۵۰	۴۰۴/۶۴	۴۹۳	۲۲۰۵	۳۵	
۴/۰۴	۴۰۱/۷۰	۴۰۱/۶۹	۴۹۶	۱۸۲۳	۳۷	
۴/۹۳	۴۰۰/۰۰	۳۹۹/۷۰	۷۱۹	۱۴۶۵	۳۹	
۳/۰۰	۳۹۷/۱۰	۳۹۶/۳۸	۴۱۲	۱۰۹۵	۴۱	
۲/۵۰	۳۹۳/۵۰	۳۹۳/۱۴	۴۱۸	۷۲۳	۴۳	
۱/۲۰	۳۹۰/۳۰	۳۹۰/۵۸	۴۵۰	۳۵۳	۴۵	
۱/۱۵	۳۹۰/۷۰	۳۹۰/۲۲	۴۴۶	.	۴۷	

نمونه در شکل ۱۰ داده‌های تراز سطح آب مخزن بعد از گذشت ۵۰ سال از زمان بهره‌برداری برای ماه مرداد نشان داده شده است. پیش روی دلتای رسوبی بعد از گذشت ۵۰ سال از زمان بهره‌برداری مخزن در شکل ۱۱ نشان داده شده است.

ولی در محدوده‌ی شاخه‌های فرعی این اختلاف بیشتر می‌شود. برای پیش‌بینی الگوی رسوبی مخزن بعد از گذشت ۵۰ سال از زمان بهره‌برداری سد، تراز سطح آب مخزن، داده‌های ورودی دبی و دبی سنجه برای سه شاخه با مدل SAMS2007 ایجاد و برای شبیه‌سازی به مدل معرفی شد (۱۴). برای



شکل ۱۰- داده‌های تراز سطح آب مخزن بعد از گذشت ۵۰ سال از زمان بهره‌برداری برای ماه مرداد



شکل ۱۱- تغییرات پروفیل طولی ناشی از رسوب‌گذاری در مخزن سد شهید رجایی پس از ۵۰ سال

با کار دیگران که میانگین خطای ۷ الی ۲۱٪ را به دست آورده‌اند، شبیه‌سازی سد شهید رجایی با مدل مذکور، قابل قبول تلقی می‌شود (۲، ۶، ۱۲). در انتهای می‌توان اذعان داشت که مدل رسوبی GSTARS3.0 به علت شباهد و بعدی بودن، تطابق بهتری را نسبت مدل‌های یک بعدی نشان می‌دهد. ولی به دلیل محدودیت آن در شاخه‌های فرعی پیشنهاد می‌شود، برای مدل کردن بهتر شاخه‌های فرعی مقایسه‌ای با نتایج GSTARS4.0 نیز صورت گیرد.

قسمت اعظم رسوبات در فاصله ۶ کیلومتری از سد با تشکیل دلتای نهشتہ می‌شوند. همچنین نتیجه محاسبات، حجم رسوبات مخزن را پس از طی ۵۰ سال، ۲۱ میلیون مترمکعب، نشان می‌دهد. بدین معنی که پس از طی ۵۰ سال از زمان بهره‌برداری این مخزن حدود ۲۲ درصد از حجم مفید آن کاسته می‌شود. با توجه به خطای متوسط ۱۹٪ برای شبیه‌سازی رسوب‌گذاری مخزن سد شهید رجایی با استفاده از مدل GSTARS3.0 و در مقایسه

## منابع

1. Abood, M.M., T. Mohammed, A.H. Ghazali and A. Rodzi Mahmud. 2009. Review study and assessment for sedimentation models applied to impounding reservoirs. Journal of Engineering and Applied Sciences, 4(15): 152-160.
2. Alami, M.T., R. Marsuli and A.H. Asadyani. 2008. Application and evaluation GSTARS3.0 model in simulation of reservoir sedimentation, Case Study: Karde Dam. 4<sup>th</sup> Congress of Civil Engineering, Tehran, Iran, 8 pp. (In Persian)
3. Atkinson, E. 1995. A numerical model for predicting sediment exclusion at intakes, HR Wallingford, 56 pp.
4. Fan S.S. 1988. twelve selection computer stream sedimentation models developed in the United States. Interagency Advisory Committee on Water Data, Subcommittee on Sedimentation, 1<sup>st</sup> edition Federal Energy Regulatory Commission, Washington, D.C, 552 pp.
5. Frentte, M. and P.Y. Julien. 1996. Physical processes governing reservoir sedimentation processes. International conference on reservoir sedimentation, Vol. 1. 121-142 pp. Colorado State University, Fort Collins, Colorado.
6. Hassanzade, Y. and A. Khankenedy. 2008. Comparison of a mathematical sedimentation model results and hydrographically measured data in Alavian dam reservoir. The Journal of Water and Wastewater, 67: 47-48. (In Persian)
7. Krishnappan, B.G. 1985. Comparison of MOBED-2 and HEC-6 river flow models, Canadian Journal of Civil Engineering, 12: 464-471.
8. Lapin, L.L. 1983. Probability and statistics for modern engineering, 2<sup>nd</sup> edition, PWS-KENT Publishing Company Boston, 810 pp.
9. Mahdavi, M. 2006. The applied hydrology, Volume 1, 6<sup>th</sup> edition, Tehran University press. 227 pp. (In Persian)
10. Mazandaran Regional Water Co. 2008. The report of Shahid Rajayee dam, 102: 064-071. (In Persian)

11. Palmieri, A., F. Shah, G.W. Annandale and A. Dinar. 2003. Erosion and sedimentation by high-energy density turbidity flows on steep slopes. The Journal for Erosion and Sediment Control Professionals, 13: 102-116.
12. Ranginkaman, M.H., M. Ghemeishi and M. Mahmoudian. 2009. Development of a computer model for simulating long-term investments and deposits of sediment laundering flow in reservoirs. The 8<sup>th</sup> Conference of Hydraulic, 9 pp. Tehran, Iran. (In Persian)
13. Shooshtari, M.M, A. Adib and M.H. Ranginkaman. 2010. Evaluation of variation of useful storage of reservoir in stream dams by GSTARS3 software, African Journal of Agricultural Research, 5(1): 60-69.
14. Sveinsson, O.G.B., J. D. Salas, W.L. Lane and D.K. Ferevert. 2007. User's manual for SAMS2007, U.S. Department of Civil and Environmental Engineering, Computing Hydrology Laboratory and Denver, Colorado, USA, 123 pp.
15. Tolouee, E. 2005. Design and operation of dams and reservoir in point of view of deposition. The first Conference of Deposition Management, 97: 15-18. Ahwaz, Iran. (In Persian)
16. Yang, C.T. and F.J.M. Simoes. 1998. Application of Gstars to River Sedimentation Studies. 9<sup>th</sup> ISAS, Civil Engineering Department, Colorado State University, Fort Collins, 8 pp.
17. Yang, C.T. and F.J.M. Simoes. 1998. Simulation and prediction of river morphologic changes using Gstars2.0. US-China Workshop on Advanced Computational Modeling in Hydroscience & Engineering, Oxford, Mississippi, USA, 11 pp.
18. Yang, C.T. and F.J.M. Simoes. 2002. Numerical model for reservoirs sedimentation, Civil Engineering Department, Colorado State University, Fort Collins, 139: 018-032.
19. Yang, C.T. and F.J.M. Simoes. 2002. User's manual for GSTARS3, U.S. Bureau of Reclamation, Technical Service Center, and Denver, Colorado, USA, 345 pp.
20. Yang, C.T. and F.J.M. Simoes. 2006. Generalized sediment transport models for alluvial rivers and reservoir. US-China Workshop on advanced computational modeling in hydroscience & engineering, Oxford, Mississippi, USA, 10 pp.

## **Investigation of Sedimentation Pattern in the Shahid Rajaee Reservoir Using GSTAR3.0 Numerical Model**

**Hoda Meskar<sup>1</sup> and Ramin Fazloula<sup>2</sup>**

---

1- MSc Student, Sari Agricultural Sciences and Natural Resources University

2- Assistant Professor, Sari Agricultural Sciences and Natural Resources University (Corresponding author: r.fazlola@sanru.ac.ir)

Received: May 30, 2012

Accepted: September 8, 2012

---

### **Abstract**

Sedimentation problem in the reservoirs is one of the important effects after dam's construction. This phenomenon encounters optimum utilization of the volume stored in the dam's reservoir with some problems. Moreover sedimentation affects on the energy production, navigation, turbine's operation, production and supplying the water and dam's safety. In this research, for predicting of the sedimentation trend of Shahid Rajaee Reservoir, the GSTARS3.0 model was used due to half 2D and semi stable properties, ability for simulation of the sediment transport in imbalance status and using wide range of sediment transport equations. After calibration model with 10 years hydrography data of the Shahid Rajaee Reservoir, the amount and manner of sedimentation along the longitudinal and cross sections of the reservoir was investigated. The calibration results showed that the selecting Yang (1979) model as sediment transport formula, 3 number of flow pipe and roughness coefficient of 0.04, the model has the best agreement with real satiation. Also simulation results of the model shown that after 50 years from dam operation, the volume of the deposited sediments in the reservoir will reach to 21MCM that will occupy about %22 of the useful volume of the reservoir.

**Keywords:** Shahid Rajaee Dam, Simulation, Sedimentation, Dam Reservoir, GSTARS3.0